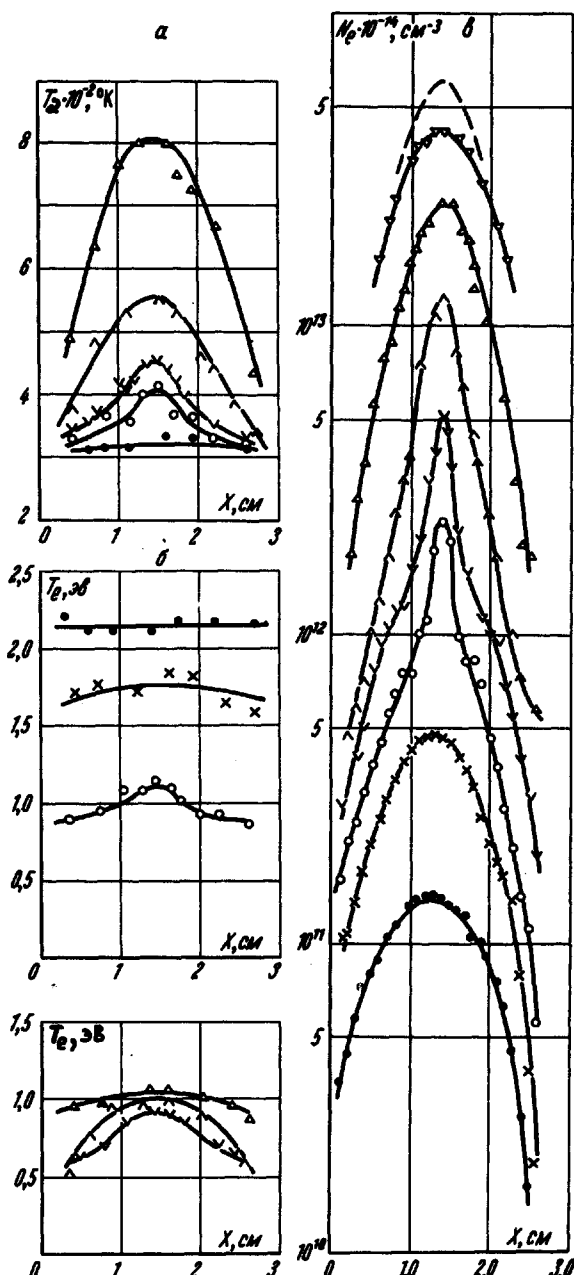


## **КОНТРАКЦИЯ ПОЛОЖИТЕЛЬНОГО СТОЛБА**

***В. И. Баранов, К. Н. Ульянов***

Известно, что при средних и высоких давлениях положительный столб может быть контрагирован. Для объяснения этого явления привлекаются различные гипотезы [1,2]. Однако экспериментальное подтверждение получила только теория [3] контракции тока при высоких давлениях. Настоящая работа посвящена контракции тока при средних давлени-



Распределения  $T_a$  – *a*,  $T_e$  – *б*,  $N_e$  – *в* по диаметру (внутренний диаметр 2,6 см) трубы при давлении аргона 20 мм рт.ст., разрядных токах:  $\bullet - 5 \cdot 10^{-3}$ ;  $\times - 1,5 \cdot 10^{-2}$ ;  $\circ - 3 \cdot 10^{-2}$ ;  $\vee - 0,1$ ;  $\wedge - 0,5$ ;  $\Delta - 2$ ;  $\nabla - i = 5$  a. Пунктирная кривая – распределение концентраций, измеренное по абсолютной интенсивности рекомбинационного излучения, для  $i = 2$  a

ях ( $p \sim 5+500$  мм рт.ст.). Свойства положительного столба исследовались в цилиндрических трубках, которые откачивались до  $p < 5 \cdot 10^{-6}$  мм рт.ст. и наполнялись спектрально чистым газом (Ar и Ar + Cs). Распределение температуры  $T_e$  и концентрации  $N_e$  электронов по радиусу измерялось двойными подвижными зондами и по рекомбинационному излучению, распределение температуры газа  $T_g$  — методом накаливаемой W-нити, продольная напряженность электрического поля  $E$  — пристеночными зондами. При всех значениях давлений и токов в шести цилиндрических слоях рассчитывался баланс энергии электронов и баланс электронов.

Эффективный радиус  $r_3$  положительного столба зависит от тока и давления. При низком давлении аргона ( $p < p^* \sim 5$  мм рт.ст.) ток слабо контрагирован. При  $p > p^*$  неконтрагированное состояние существует только при токах меньше предельного  $i < i_{\text{пр}}$ , при  $i > i_{\text{пр}}$  это состояние становится неустойчивым и скачком переходит в контрагированное (рисунок).

**Диффузионное состояние при низких давлениях ( $p < p^*$ ).** При больших токах неоднородность атомов  $N_a(r)$ , возникающая за счет прогрева, приводит лишь к слабой неоднородности  $T_e(r)$ , так как в балансе энергии электронов существенную роль играет электронная теплопроводность  $W_T$  и диффузионный перенос энергии  $W_D$ . Например, при  $p = 1$  мм рт.ст.,  $i = 1$  а в центре разряда  $W_D = 4 \cdot 10^6$  (эр $\cdot$ см $^3$ /сек),  $W_T = 3 \cdot 10^6$ , а упругие потери  $W_y = 6 \cdot 10^5$ . В балансе заряженных частиц во всем исследованном диапазоне токов (до 5 а) диффузионный поток на стенку превышает объемную рекомбинацию.

**Неконтрагированное состояние при средних давлениях ( $p > p^*$ ).** При средних давлениях процессы переноса играют меньшую роль в балансе энергии электронов, поэтому неоднородность  $T_e(r)$  вызывает неоднородность  $T_a(r)$  (рисунок). Однако при малых токах ( $i < i_{\text{пр}}$ ) механизм устранения заряженных частиц также носит диффузионный характер. Например, отношение рекомбинационного времени жизни  $\tau_p = 1/aN_e$  ( $a$  — эффективный коэффициент рекомбинации) к диффузионному  $\tau_D = R^2/6D_a$  ( $R$  — радиус трубки,  $D_a$  — коэффициент амбиполярной диффузии) для  $i = 15$  мА и  $p_{Ar} = 20$  мм рт.ст. равно  $S = 6D_a/aN_eR^2 \sim 10$ . В диффузионном состоянии неоднородность  $T_e(r)$  не приводит к сильной контракции.

**Контрагированное состояние при средних давлениях.** При  $i > i_{\text{пр}}$  происходит переход в контрагированное состояние, сопровождающийся резким уменьшением  $r_3$  и  $E$ . С ростом тока возрастает роль объемной рекомбинации (при  $p_{Ar} = 20$  мм рт.ст.,  $i = 0,03$  а  $S \sim 5$ , а при  $i = 0,5$  а  $S \sim 0,1$ ), наличие которой способствует образованию устойчивого состояния. Расчет баланса энергии (таблица) показал, что джоулев нагрев практически уравновешивается упругими потерями, поэтому  $T_e$  в каждой точке определяется локальными параметрами разряда.

С ростом тока увеличивается неоднородность  $T_e$  и уменьшается роль диффузии. Оба этих фактора приводят к усилинию контракции. При дальнейшем увеличении тока  $r_3$  начинает увеличиваться. В аргоне с цезием контракция выражена слабее, расширение  $N_e(r)$  наблюдается

уже при малых токах, причем  $i_h$  (нормальная плотность тока) при этом остается постоянной. В балансе энергии электронов подводимая мощность также уравновешивается упругими потерями, а устранение заряженных частиц носит объемный характер. Таким образом, в широком диапазоне давлений ( $p > p^*$ ) и токов ( $i >> i_{\text{пр}}$ ) контрагированное состояние является локально-столкновительным, баланс энергии имеет

Таблица

$$i = 0,5 \text{ а} \quad p_{\text{Ar}} = 20 \text{ мм рт.ст.}$$

$r, \text{ см}$						
$W \cdot 10^{-5} \text{ эрг} \cdot \text{см}^{-3}, \text{ сек}^{-1}$	0,05	0,15	0,26	0,47	0,77	1,06
	110	75	50	25	10	3
	25	10	9	4	1	-

локальный характер. Это дает возможность построить простую теорию контракции тока. Рассмотрим плоский случай. Система уравнений имеет вид.

$$N_e = N_e(T_e, N_a) \quad (1), \quad iE = W_y \quad (2), \quad W_y + K_a T_a'' = 0 \quad (3),$$

$$E = \frac{\epsilon}{l} \left[ 1 + \frac{2R_b}{l} \int \sigma dx \right]^{-1} \quad (4) \quad p = N_a k T_a,$$

где  $K_a$  – коэффициент атомной теплопроводности;  $k$  – постоянная Больцмана;  $\epsilon$  – э.д.с. источника;  $R_b$  – внешнее сопротивление на единицу длины (по  $y$ );  $d$  – половина ширины (по  $x$ );  $l$  – длина разрядного промежутка (по  $z$ );  $\sigma$  – электропроводность. Уравнение (2) устанавливает связь  $T_e$  с  $T_a$ . Если частота столкновений электрон-атом много больше частоты столкновений электрон-ион  $\nu_{ea} \gg \nu_{ei}$ , то характерные масштабы  $T_a$  и  $T_e$  одного порядка, а масштаб  $N_e$  из-за наличия экспоненциального множителя в (1) меньше масштаба  $T_e$  в  $U_e = E_i / kT_e$  раз. Это и приводит к контракции при сильной температурной неоднородности. При  $\nu_{ea} \ll \nu_{ei}$ , плотность  $N_a$ , неоднородность которой приводила к контракции, больше не входит в (2), масштабы  $N_e$  и  $T_e$  одного порядка и значительно превышают масштабы  $T_a$  и  $N_a$ . Там, где  $\nu_{ei} \sim \nu_{ea}$  распределения  $N_e(x)$  и  $T_e(x)$  становятся более однородными, что приводит к росту  $r_3$  и существованию  $i_h$ . Эти закономерности можно проследить на простом примере. В парах металлов часто имеет место локальное равновесие с  $T = T_e$ . Тогда вместе (1) можно использовать уравнение Саха. Для определенности рассмотрим смесь Ar + Cs при малой степени ионизации Cs. Упругие по-

тери электронов определяются рассеянием на Ar, причем сечение  $\sigma_{ea}^4 \sim T_e$ . Пусть  $n_e = N_e/N_e(0)$ ,  $t_e = T_e/T_e(0)$ ,  $t = T_a/T_a(0)$ ,  $\epsilon = \nu_{ei}(0)/\nu_{ea}(0)$ . При  $\epsilon \ll 1$  и  $T_e(0) \gg T_a(0)$  имеем

$$n_e = 1 - t h^2 \left( \frac{x}{2a} \right), \quad t_e = [1 - \frac{2kT_e(0)}{E_i} \ln(1 - t h^2 \frac{x}{2a})]^{-1}, \quad t \sim t_e^2,$$

$$i = \sigma(0) E \cdot 4a [1 - 2/(e^{d/a} + 1)], \quad a^2 = 2K_a T_a(0)/W_y(0) U_e(0),$$

$a$  — характерный размер теплопроводности. Величину  $0,5 a$  можно принять за радиус контракции. С ростом тока и давления  $a$  уменьшается. При  $a \ll d$  имеет место сильная контракция. При  $\epsilon \gg 1$   $t_e = n_e$  и контракция выражена слабее. С ростом тока сначала  $r_3$  уменьшается, затем, когда в центре  $\epsilon \sim 1$ , происходит увеличение  $r_3$ . Считая  $\nu_{ei} \sim \nu_{ea}$ , имеем

$$i_H = e \bar{v}_e N_a \left( \frac{m_e}{m_a} \right)^{1/2} \frac{\bar{\sigma}_{ea}}{\bar{\sigma}_{ei}},$$

где  $\bar{v}_e$  — тепловая скорость электронов;  $\bar{\sigma}_{ea}$ ,  $\bar{\sigma}_{ei}$  — сечения столкновения электрон-атом и электрон-ион;  $m_e$  и  $m_a$  — массы электрона и атома. Плотность тока  $i_H$ , рассчитанная по этой формуле, совпадает с измеренной в Ar + Cs.

Отклонение от равновесия с  $T = T_e$  из-за выхода излучения и нарушения равновесного распределения электронов по скоростям в объемном состоянии приводит к усилению контракции. Во-первых, в неравновесной системе необходимы более высокие  $T_e$  и  $E$  при том же токе. Это приводит к увеличению выделяющейся в разряде мощности  $W_E$  и неоднородности  $T_a(r)$ . Во-вторых, изменение  $T_e(r)$  приводит к гораздо более сильному изменению  $N_e(r)$ , чем в равновесном случае. По-видимому, этими причинами обусловлена весьма сильная контракция тока в чистом аргоне. Переход тока в контрагированное состояние связан со сменой диффузационного механизма устранения заряженных частиц объемным. Скорость рекомбинации обычно пропорциональна  $N_e N_i$ , поэтому переход в контрагированное состояние происходит вначале на оси разряда, а на периферии остается диффузионная "мантия" (рисунок), характерный размер которой уменьшается с ростом тока.

Всесоюзный  
электротехнический институт  
им. В.И. Ленина

Поступило в редакцию  
6 июня 1967 г.

### Литература

- [1] K.Kenty. Phys. Rev., 126, № 4, 1962.
- [2] Ю.Б.Голубовский, Ю.М.Каган, В.И.Лягушенко. Опт. и спектр., 20, 561-567, 1966; 21, 525, 1966.
- [3] W.Elenbaas, The High Pressure Mirary Vapour Discharges, 1950.